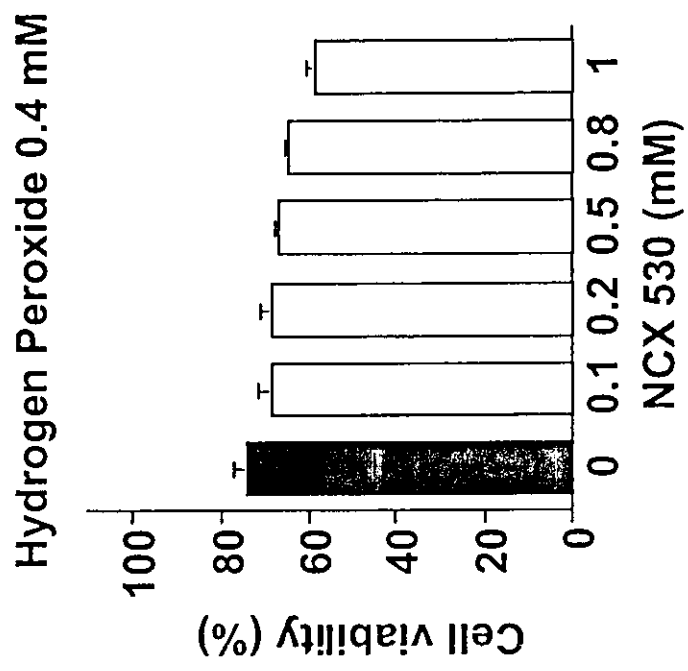
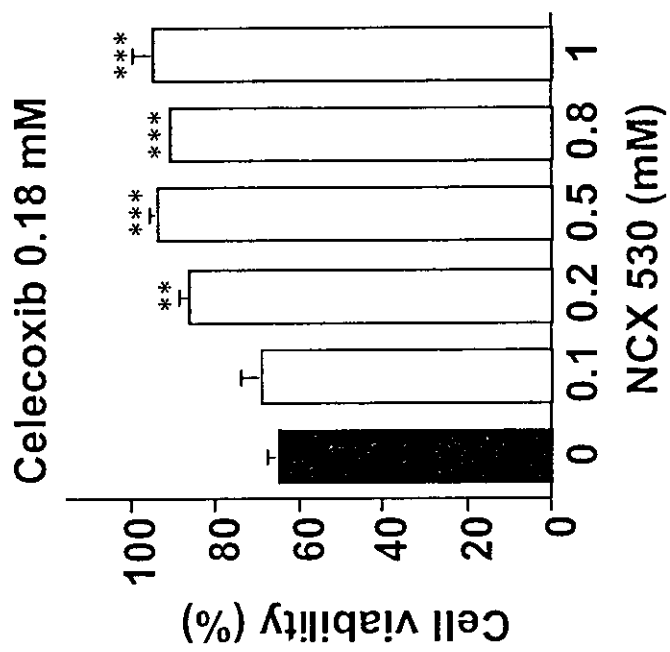


D

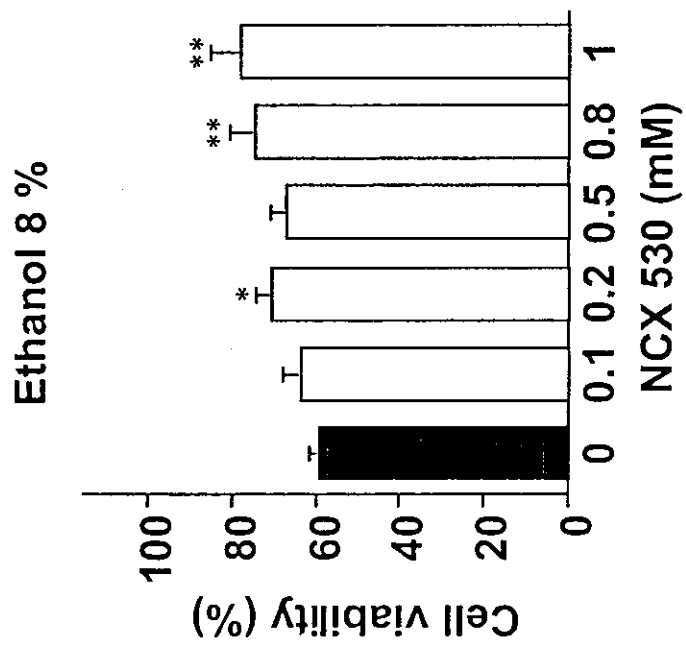


Tomisato et al. Fig. 3

A

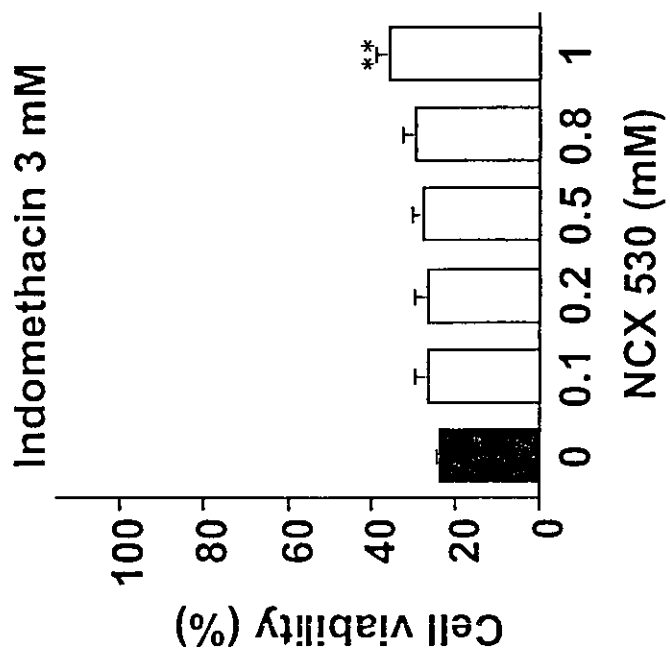


B

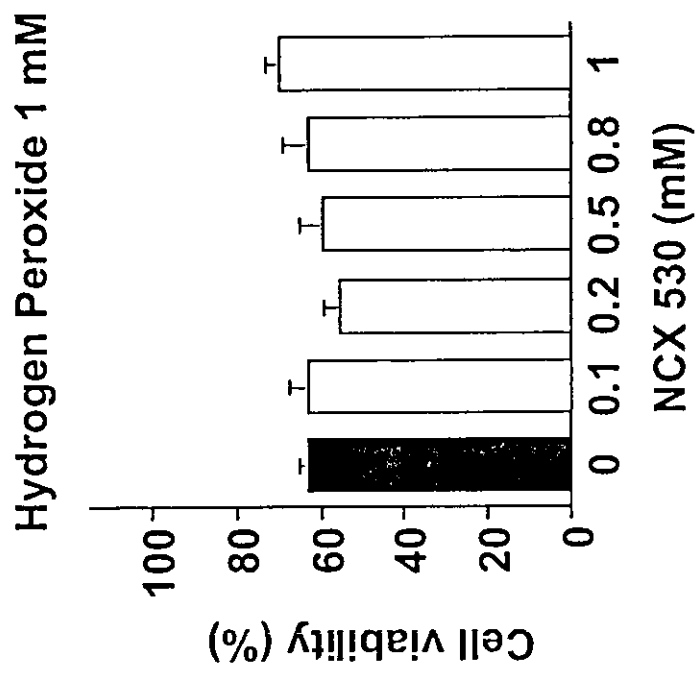


Tomisato et al. Fig. 3

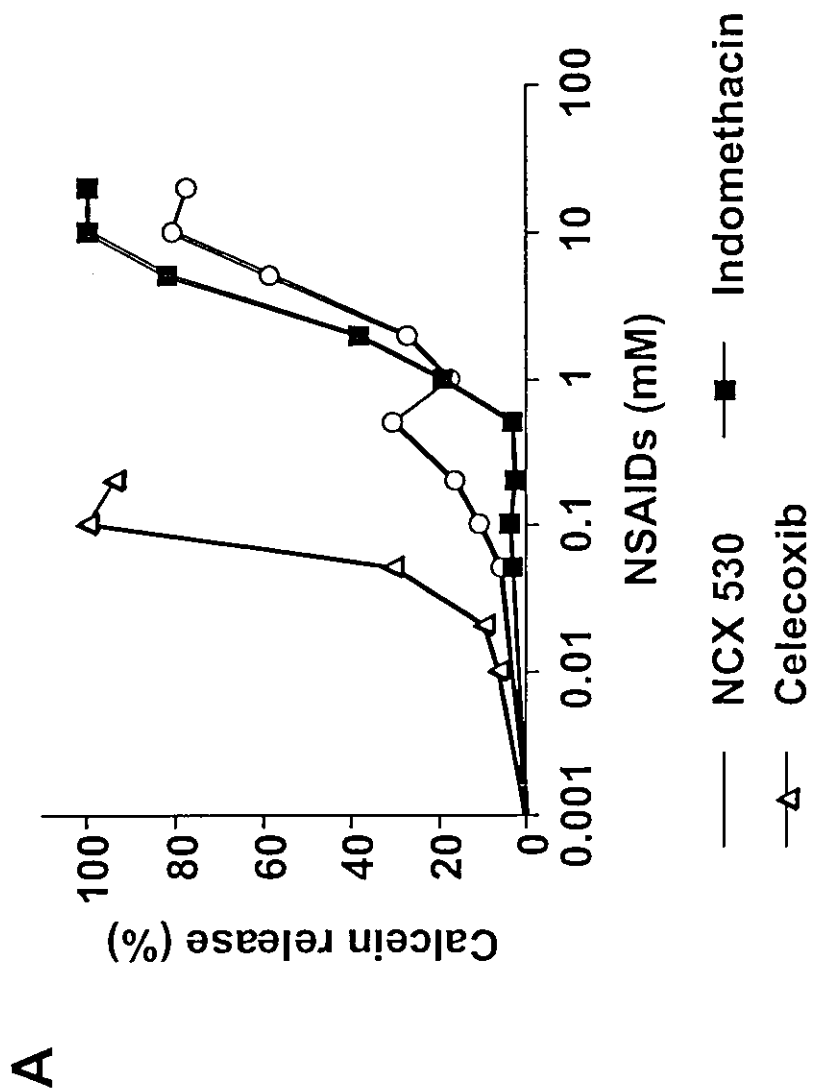
C



D

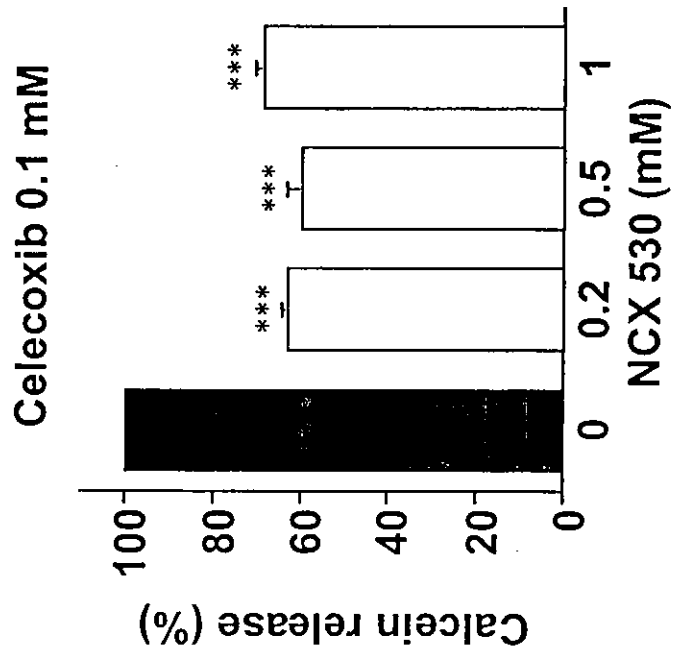


Tomisato et al. Fig. 4



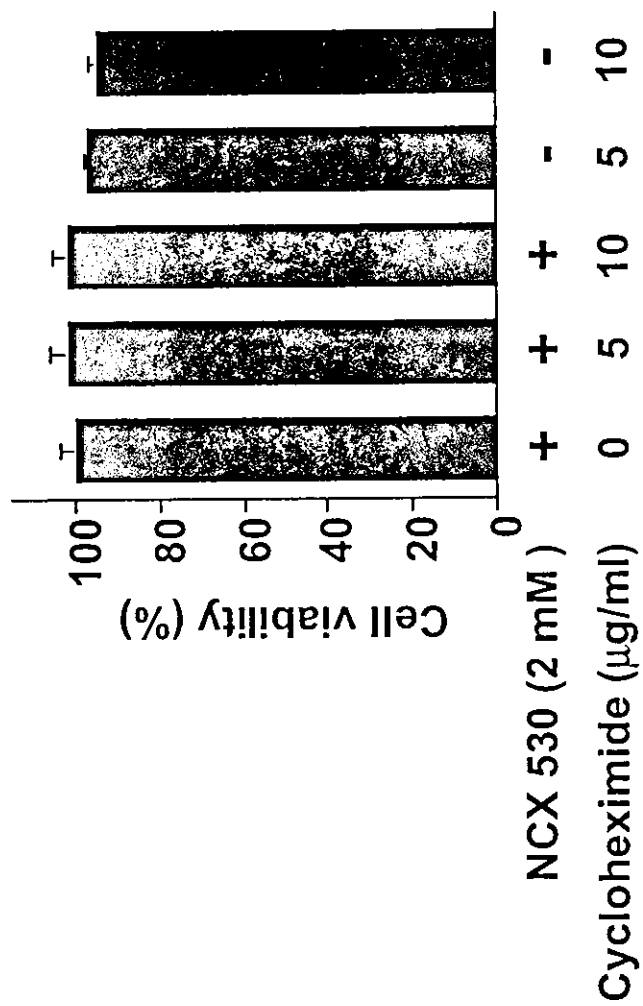
Tomisato et al. Fig. 4

B



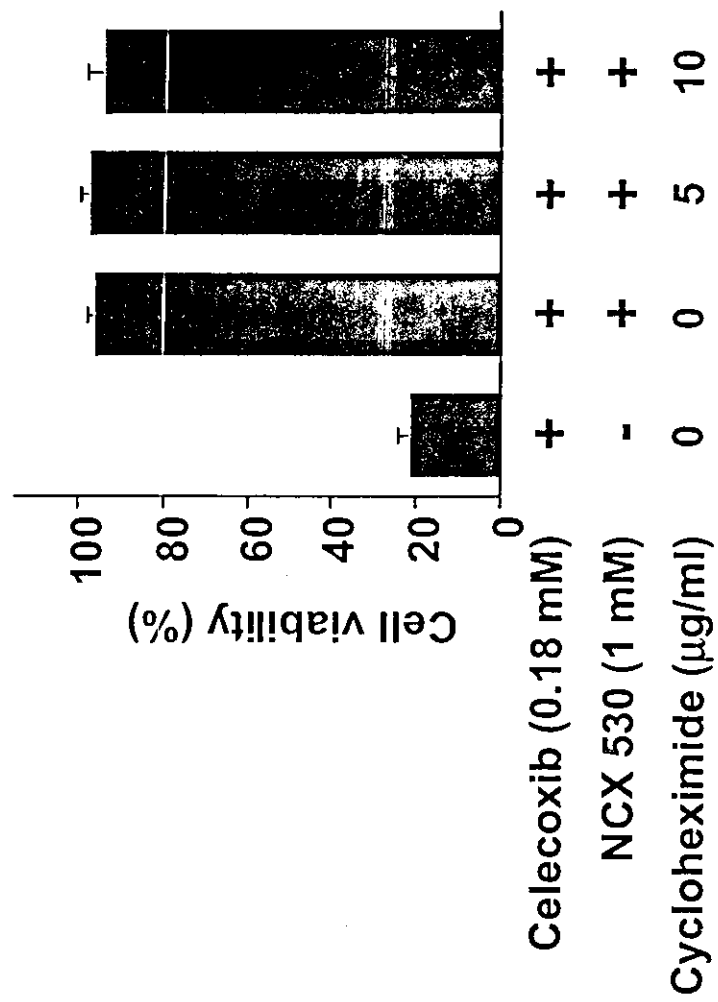
Tomisato et al. Fig. 5

A

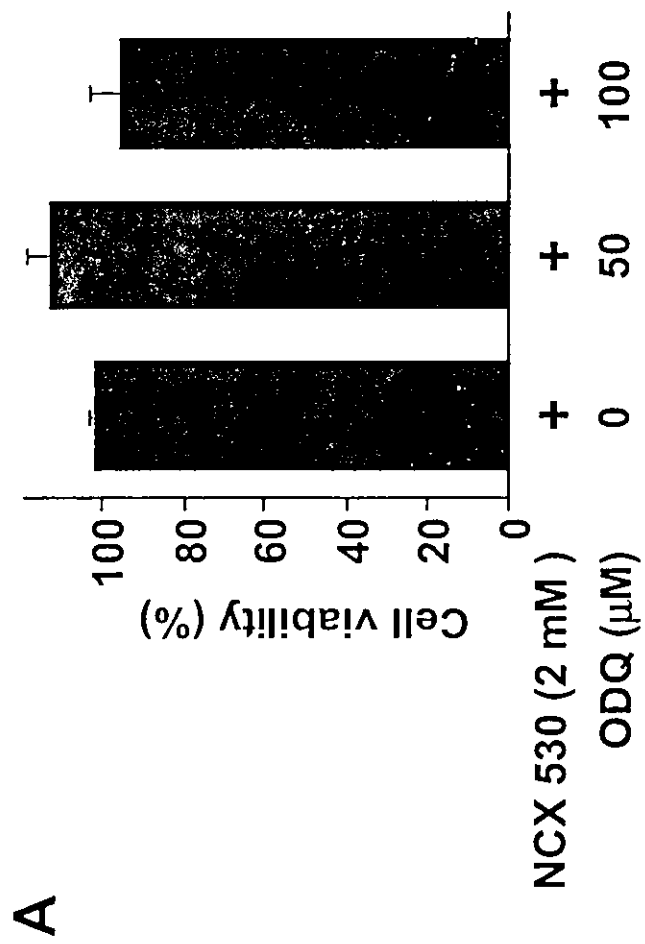


Tomisato et al. Fig. 5

B

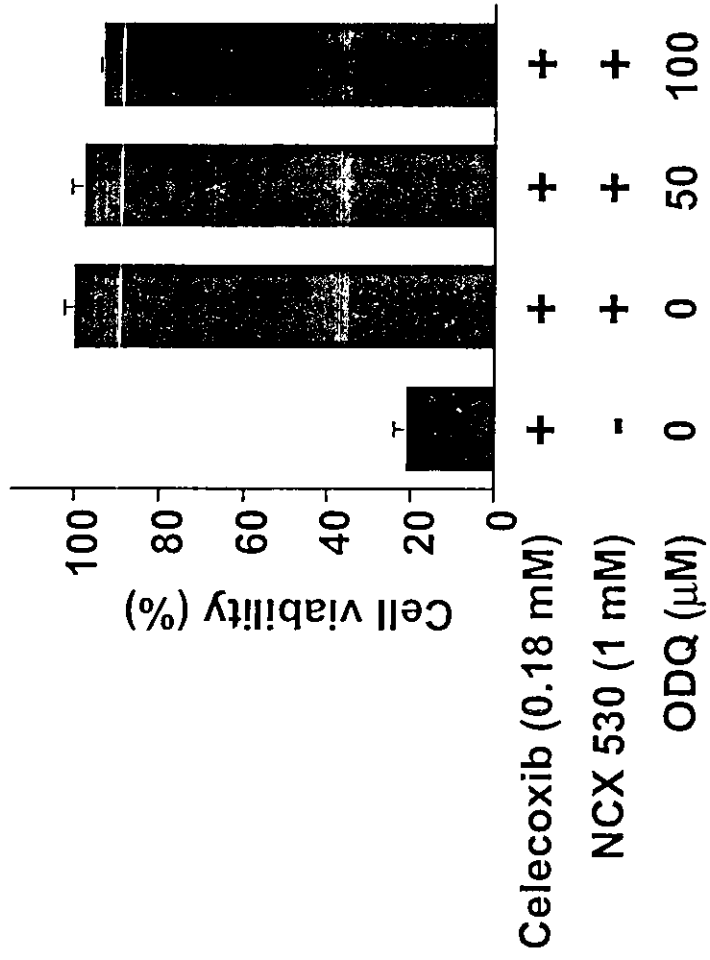


Tomisato et al. Fig. 6



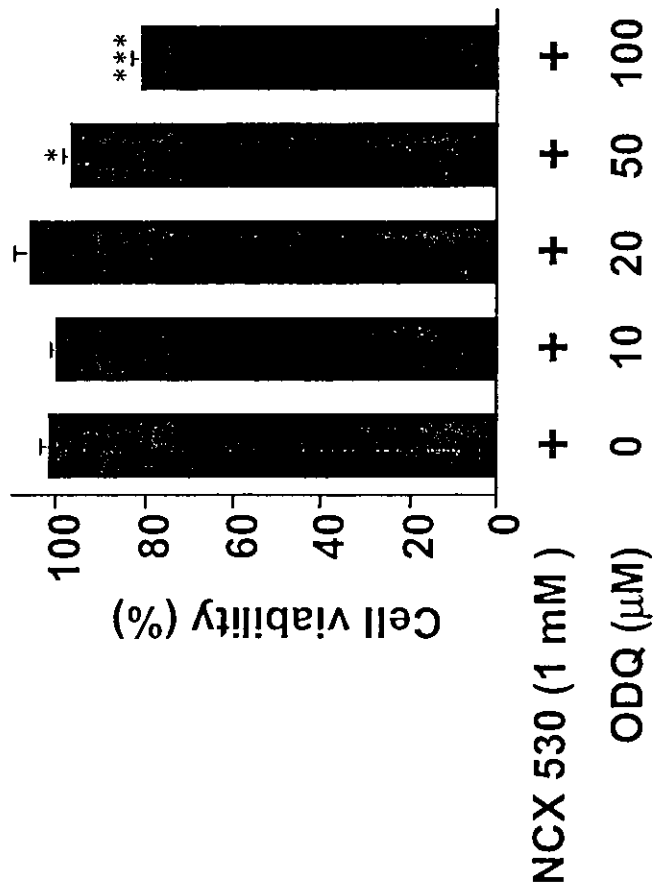
Tomisato et al. Fig. 6

B

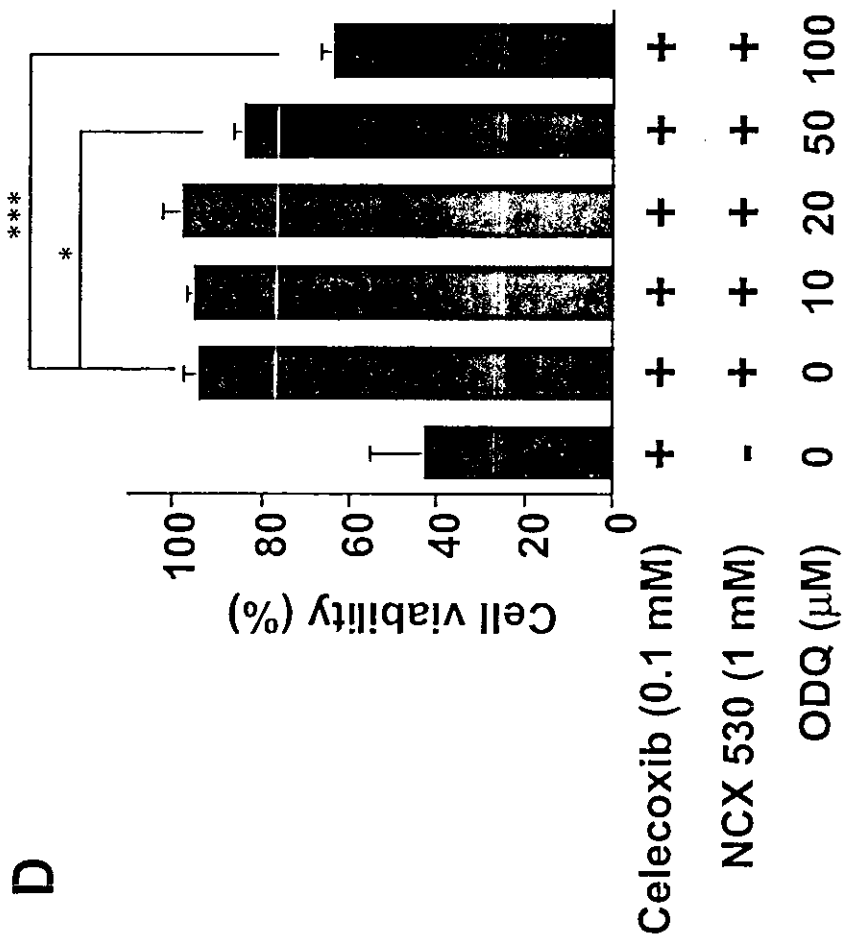


Tomisato et al. Fig. 6

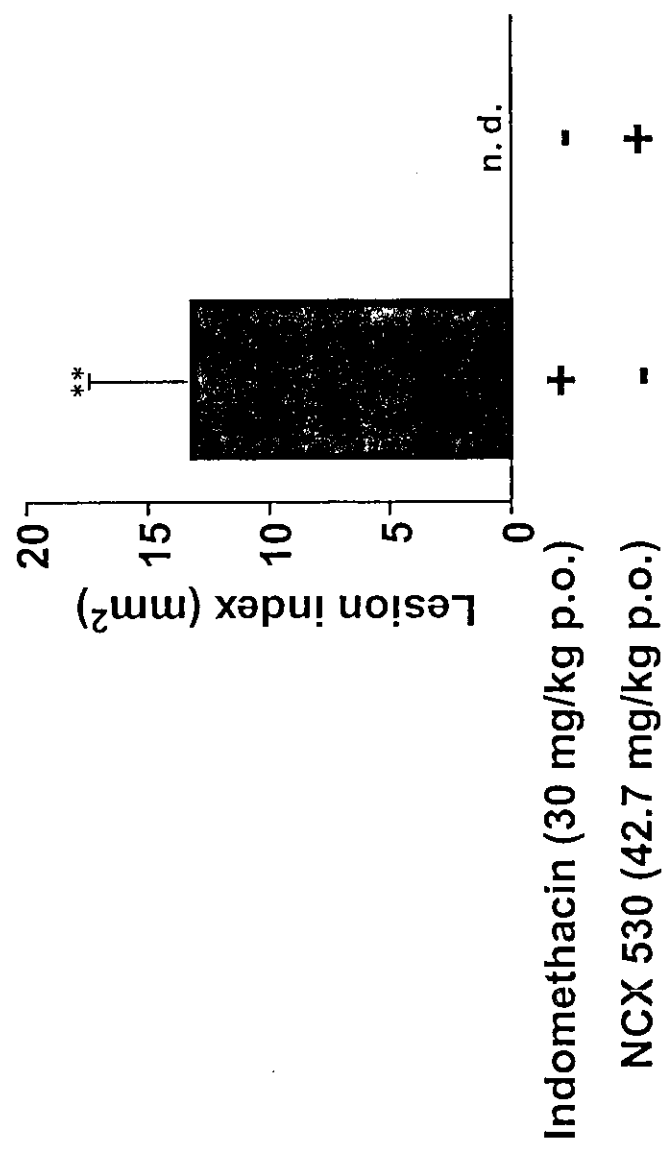
C



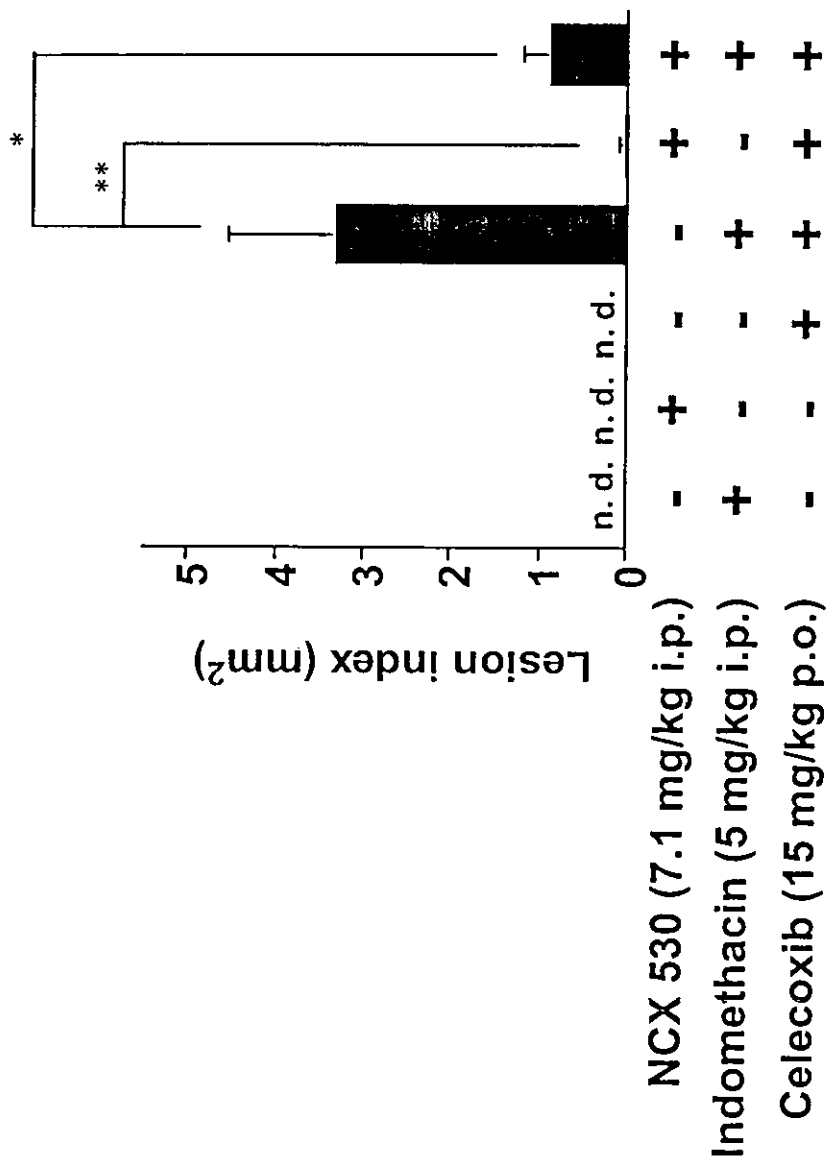
Tomisato et al. Fig. 6



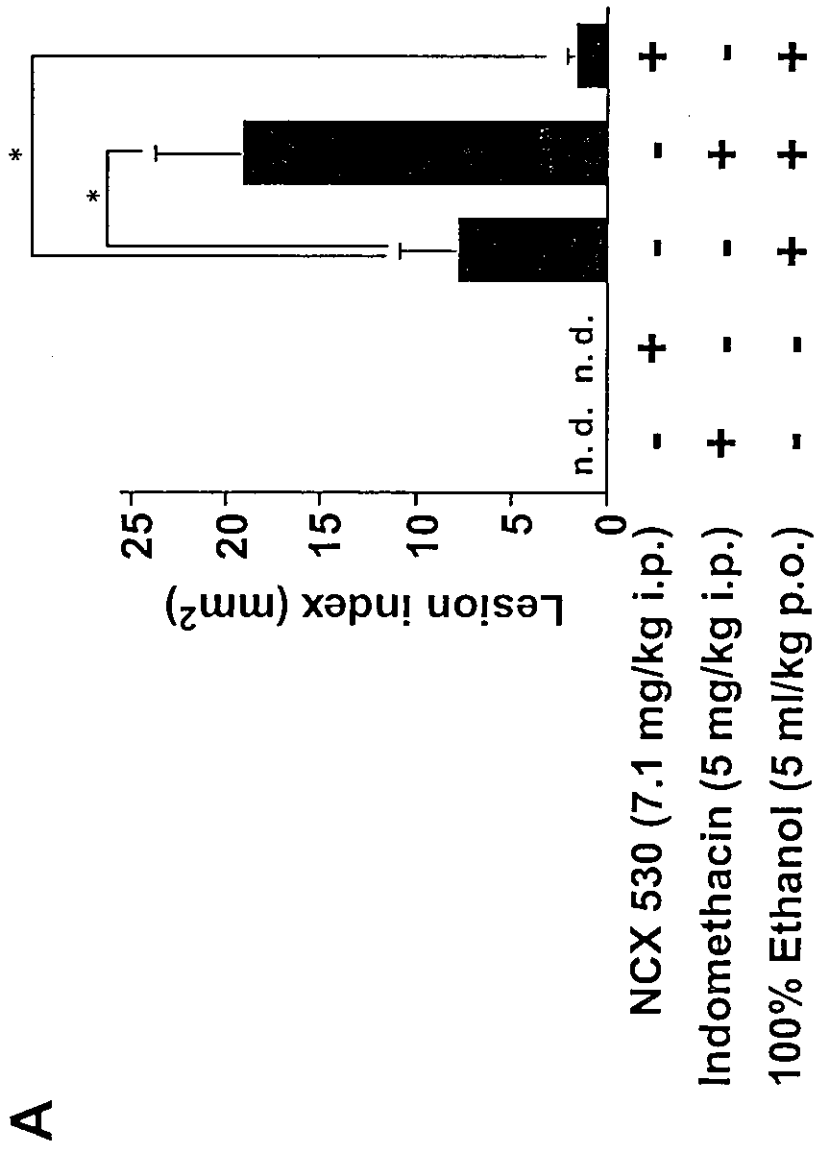
Tomisato et al. Fig. 7



Tomisato et al. Fig. 8



Tomisato et al. Fig. 9



Tomisato et al. Fig. 9

B

